

تأثير جسيمات الفضة النانوية المنتجة من الفطريات ضد بعض الأنواع البكتيرية الممرضة
محمد عبد السميع المقصبي*، سهيلة رمضان الصيد، هناء عمر صافار، مروة الصادق الوش، نجاة حسين الاطرش
قسم الاحياء، كلية العلوم، جامعة مصراتة، مصراتة، ليبيا

*m.almagasbi@sci.misuratau.edu.ly

المخلص:

العديد من الكائنات الحية الدقيقة لها القدرة على إنتاج جسيمات الفضة النانوية المعروفة بإمتلاكها فعالية مضادة لمدى واسع من مسببات الأمراض البكتيرية، هدفت هذه الدراسة إلى عزل الفطريات من تربة المنطقة الصناعية قصر أحمد بمدينة مصراتة لإختبار قدرتها على إنتاج جسيمات الفضة النانوية وتحديد الفعالية التثبيطية لهذه الجسيمات ضد بعض الأنواع البكتيرية المختبرة، تم الحصول على 11 نوع فطري من عينات التربة بإتباع طريقة التخفيف المتسلسل، أظهرت النتائج قدرة 6 أنواع فطرية (*Cladosporium peutiana*، *Aspergillus niger*، *Penicillium chrysogenum*، *Cladosporium cladosporioides*، *Sclerotinia Sclerotiorum*، *Rhizoctonia solani*) على إنتاج جسيمات الفضة النانوية التي تم الكشف عنها من خلال ملاحظة التغير اللوني لراشح الكتلة الحيوية الفطرية إلى اللون البني بعد اضافة نترات الفضة بتركيز 1mM، أيضا من خلال قياس طيف إمتصاص الأشعة فوق البنفسجية والمرئية لمحلول جسيمات الفضة النانوية تبين أنها تقع على مدى طول موجي 406 نانومتر لفطر *R. solani* و 432 لفطر *A. niger* مما يدل على كفاءة الفطريات في إنتاج هذه الجسيمات، بينت نتائج الفعالية التثبيطية باستخدام طريقة انتشار حفر الأجار أن محلول جسيمات الفضة النانوية لكل الأنواع الفطرية المنتجة كان ذو فعالية تثبيطية اتجاه جميع أنواع البكتيريا المختبرة الموجبة والسالبة لصبغة جرام المستخدمة في الدراسة.

الكلمات المفتاحية: الفطريات، الجسيمات النانوية، الفعالية التثبيطية.

المقدمة Introduction

تعد تقنية النانو وعلى مدى العقود الثلاثة الماضية من العلوم حديثة النشوء التي تهتم بتصنيع وتطوير بعض المعادن كالفضة، الذهب والبلاتين إلى جسيمات نانوية بأبعاد تتراوح من 10-100 نانومتر [1]؛ لهذه الجسيمات النانوية تطبيقات في العديد من المجالات كالتطب، الصناعات الغذائية ومعالجة المياه، أيضا استخدمت في صناعة الأدوية [2].

جسيمات الفضة النانوية من أكثر الأنواع المعروفة بإمتلاكها فعالية مضادة لمدى واسع من مسببات الأمراض وتحديدًا البكتيريا متعددة المقاومة للمضادات الحيوية [3]، فهي تعتبر من الحلول البديلة ذات الفائدة الصحية [4]، حيث بينت دراسات عديدة فوائد استخدام جسيمات الفضة النانوية للحد من انتشار الأمراض سواء في مجالات الصحة أو الزراعة [5، 6، 7] ونظرا لهذه الأهمية اهتم الباحثون بتصنيعها بالطرق الفيزيائية والكيميائية التي نجحت في إنتاج هذه الجسيمات، إلا أنه بسبب التكاليف العالية لهذه الطرق وأثارها السامة والخطيرة على البيئة [8]، برزت الحاجة إلى استخدام طرق متطورة أقل تكلفة وصديقة للبيئة لا يستخدم فيها مواد كيميائية سامة في خطوات التصنيع وللوصول إلى هذا الهدف تم اللجوء إلى الطرق الحيوية لتصنيع الجسيمات النانوية عن طريق عمليات حيوية إنزيمية [9].

توجد العديد من الكائنات الحية تم استخدامها في التصنيع الحيوي للجسيمات النانوية مثل الكائنات الحية الدقيقة كالبكتيريا والفطريات بالإضافة إلى النباتات [10]؛ الفطريات من الكائنات الدقيقة واسعة الانتشار في الطبيعة، تلعب دورا فعال في إنتاج الجسيمات النانوية المعدنية وتحديد الفضة فهي تمتلك بعض المزايا التي تجعلها من الكائنات المهمة في التصنيع الحيوي من ناحية سهولة نموها على أي وسط بيئي، كما تفرز العديد من الإنزيمات لذلك تعتبر من الخيارات المناسبة لتصنيع الجسيمات النانوية [11]، حيث أشارت العديد من الدراسات إلى استخدام أنواع مختلفة من الفطريات لإنتاج جسيمات الفضة النانوية والتي منها *Aspergillus* [12، 13، 14]، *Penicillium* [15]، *Trichoderma* [16] و *Cladosporium* [17]. هدفت هذه الدراسة إلى عزل الفطريات من تربة المنطقة الصناعية قصر أحمد واختبار قدرتها على إنتاج جسيمات الفضة النانوية ودراسة تأثير هذه الجسيمات على بعض الأنواع البكتيرية الممرضة.

الجزء العملي Experimental Part

المواد وطرق البحث:

- جمع عينات التربة :

جمعت عينات الدراسة بطريقة عشوائية من تربة المنطقة الصناعية بقصر أحمد بمدينة مصراتة حيث جمعت بعمق 10-15 سم من سطح التربة ونقلت لمعمل الأحياء الدقيقة بكلية العلوم بأكياس النابليون وعوملت بالغربلة للتخلص من الشوائب والحصى وحفظت في درجة حرارة الغرفة لحين استعمالها [18].

- عزل الفطريات بالتخفيف المتسلسل :

وزن 1 جم من كل عينة تربة واضيف اليها 9 مل من الماء المقطر في انابيب اختبار معقمة، حضرت منها التخفيف العشرية حتى 4-10، مع مراعاة التكرارات لكل تخفيف ومن تم نقل 1 مل من كل تخفيف لأطباق حاوية على وسط أجار دكستروز البطاطا (Potato dextrose Agar (PDA)، وزعت العينة بساق زجاجية على شكل حرف L، حضنت الأطباق عند درجة 28م° لمدة 7 أيام [18]، بعد ذلك تم تنقية الفطريات المعزولة وتشخيصها حسب المراجع العلمية المتخصصة [19، 20، 21].

- تحضير الكتلة الحيوية من عزلات الفطريات وتكوين الجسيمات النانوية :

حضرت الكتلة الحيوية عن طريق أخذ قرص من الفطريات النامية على وسط أجار دكستروز البطاطا PDA باستخدام ثاقب فليني ذو قياس 7 ملم ووضعها في دورق يحتوي على 100 مل من وسط دكستروز البطاطا السائل Potato dextrose broth وحضنت عند درجة 28م° لمدة 7 أيام، رشحت الكتلة الحيوية باستخدام ورق ترشيع معقمة وغسلت عدة مرات بالماء المقطر المعقم للتخلص من بقايا الوسط العالقة، تم وزن 10 جم من الكتلة الحيوية المتحصلة عليها من كل نوع فطري ووضع في 100 مل ماء مقطر معقم ثم حضنت لمدة 72 ساعة [22]، اعيد ترشيع الكتلة الحيوية بورق الترشيع وخلطت بـ 50 مل من محلول نترات الفضة (AgNO₃) المحضر بتركيز 1M مع 50 مل من الراشح في دورق زجاجي معقم وحضنت لفترة 72 ساعة في ظروف مظلمة مع وضع الشاهد (دوارق تحتوي احداها الراشح الفطري وأخرى بها محلول نترات الفضة)، حدوث تغير لوني في الراشح الفطري المضاف إليه نترات الفضة إلى اللون البني يدل ذلك على إنتاج جسيمات الفضة النانوية، تم نقل الراشح بعد إتمام فترة التحضير إلى معمل كلية الصيدلة بجامعة مصراتة لقياس طيف الإمتصاص بواسطة جهاز قياس طيف الأشعة فوق البنفسجية والمرئية V-530 UV/VIS Spectrophotometer [22].

- الكشف عن الفعالية التثبيطية لجسيمات الفضة النانوية ضد بعض الأنواع البكتيرية الممرضة :

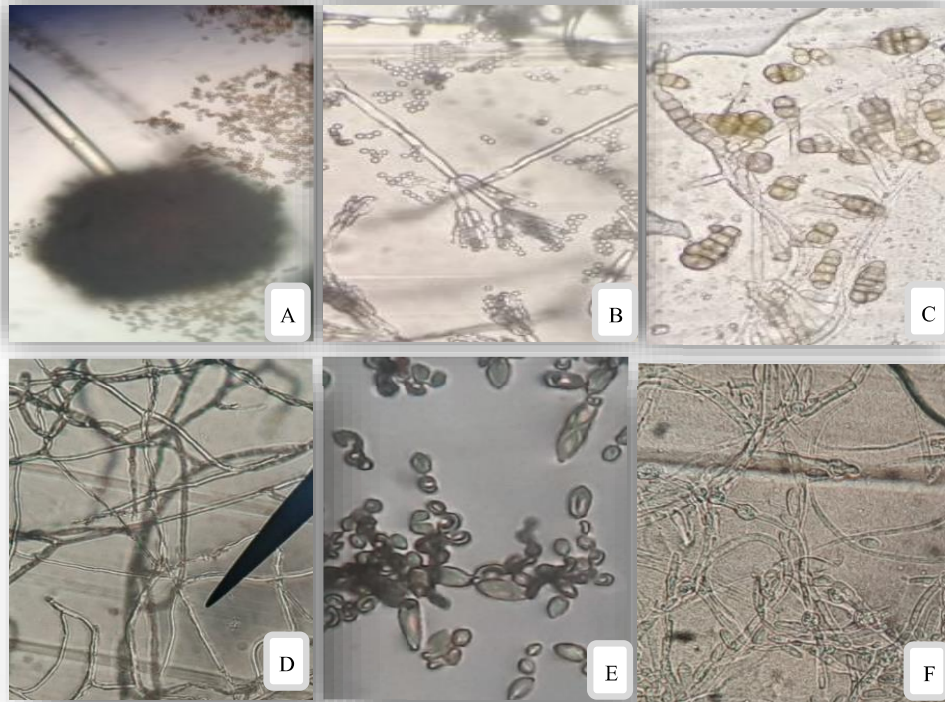
عقم محلول جسيمات الفضة النانوية بمرشح ذو قياس 0.2 ملم وحضر منه سلسلة تركيزات هي: 100، 50، 35 و 25% لتحديد كفاءتها على بعض الأنواع البكتيرية الممرضة، جلبت عينات البكتيريا من مختبر مصراتة المركزي ومختبر المحجوب بعد تشخيصها بالأسلوب العلمي المتبع وكانت بين السالبة والموجبة لصبغة جرام وتمثلت الأنواع في: *Escherichia coli* و *Staphylococcus aureus*, *Klebsiella sp.* استخدمت طريقة انتشار الحفر حسب ما استخدم في [23]، حيث تم تعديل تركيزات المعلقات البكتيرية إلى 0.5 مكفر لاند القياسي ونشرت على وسط مولر هنتون بواسطة الماسحة القطنية وتم عمل خمسة حفر بقطر 6 ملم على السطح بعد مضي عشرة دقائق من المسح، وزعت فيها التراكيز المختلفة لمحلول جسيمات الفضة النانوية المحضرة بواقع 50 مايكروليتر، الشاهد كان عبارة عن الماء المقطر المعقم وحضنت الأطباق في درجة 37م° لمدة 24 ساعة وبعد ذلك تم قياس منطقة التثبيط حول الحفر [22، 23].

النتائج والمناقشة Results and Discussion

عزل 11 نوعا من الفطريات بطريقة التخفيف المتسلسل من تربة المنطقة الصناعية بمدينة مصراتة، شخّصت طبقا للمواصفات والتراكيب الظاهرة حسب المراجع العلمية [19، 20، 21] وهي تنتمي لأنواع التالية:

Cladosporium cladosporioides, *Cladosporium peutiana*, *Aspergillus niger*,
Aspergillus terreus, *Penicillium notatum*, *Penicillium chrysogenum*, *Fusarium solani*,
Fusarium oxysporum, *Rhizoctonia solani*, *Sclerotinia Sclerotiorum*,
Alternaria

alternata، شكل (1).

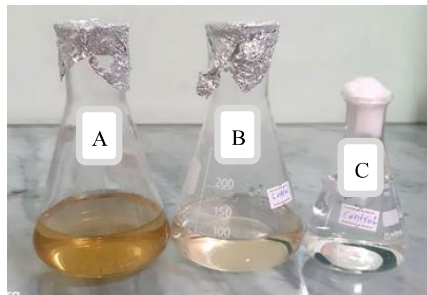


شكل (1): الشكل المظهري لفطر (A) *A. niger*، (B) *P. chrysogenum*، (C) *A. alternata*، (D) *R. solani*، (E) *C. peutiana* (F) *F. oxysporium* باستخدام المجهر الضوئي تحت قوة تكبير X40.

تكوين جسيمات الفضة النانوية:

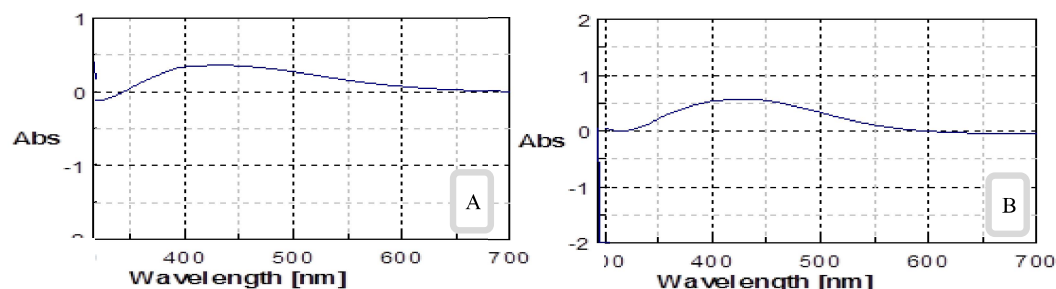
لوحظ تكوين جسيمات الفضة النانوية من خلال:

-التغير اللوني: أظهرت النتائج المتحصل عليها تكوين جسيمات الفضة النانوية لـ 6 أنواع من الفطريات المعزولة وهي *C. peutiana*، *C. cladosporioides*، *P. chrysogenum*، *A. niger*، *R. solani*، *S. sclerotiorum* وذلك من خلال تغير لون رايح الكتلة الحيوية للفطريات بعد إضافة نترات الفضة من اللون الأصفر الشاحب إلى اللون البني الناتج عن اختزال أيونات الفضة بواسطة الإنزيمات التي تفرزها الفطريات (α -NADPH و Nitrate reductase) (شكل 2)، حيث أن ظهور اللون البني في الراشح الفطري بعد التفاعل مع أيونات الفضة هو مؤشر واضح على انخفاض الأيونات المعدنية (الفضة) وإثارة سطح البلازمون الناتجة أساساً من اهتزاز مجاميع توصيل الإلكترون في جسيمات الفضة النانوية [24, 25].



شكل (2): التغير اللوني لراشح الكتلة الحيوية للفطريات المضاف إليها محلول نترات الفضة (A)، شاهد رايح الكتلة الحيوية للفطريات بدون إضافة نترات الفضة (B)، شاهد نترات الفضة (C).

-طيف الامتصاصية للأشعة فوق البنفسجية و المرئية: أظهرت نتائج الدراسة قدرة الفطريات على إنتاج جسيمات الفضة النانوية من خلال قياس طيف الامتصاص للأشعة فوق البنفسجية والمرئية ضمن مدى 200-750 نانومتر لمحلول جسيمات الفضة النانوية ولوحظ أن قمة الامتصاص ظهرت عند مدى طول موجي 406-432 نانومتر، التي تمثل أعلى قمة امتصاص للجسيمات النانوية وكفاءة الفطريات في إنتاجها (الشكل 3)، فقد كان أقلها *R. solani* 406 نانومتر، يليها *Cladosporium* 429 نانومتر، بينما كان أعلاها *P. chrysogenum* و *A. niger* (431 و 432 نانومتر) على التوالي، تقاربت هذه النتائج مع ما أشار إليه [26]، إذ بين أن الطول الموجي لجسيمات الفضة النانوية من *Penicillium* قد بلغ 422 نانومتر وايضا تقاربت مع ما أشارت إليه [22 و 27] حيث أن قمة الامتصاص لمحلول جسيمات الفضة النانوية لفطر *A. niger* كانت 430 و 427 نانومتر على التوالي.



شكل (3): طيف امتصاص الأشعة فوق البنفسجية والمرئية: راسح *P. chrysogenum* ظهرت عند طول موجي 431 نانومتر (A)، راسح *A. niger* ظهرت عند طول موجي 432 نانومتر (B).

الفعالية التثبيطية لجسيمات الفضة النانوية ضد بعض الأنواع البكتيرية الممرضة:
تبين من خلال النتائج أن لجسيمات الفضة النانوية المنتجة من فطر *A. niger* فعالية تثبيطية اتجاه العزلات البكتيرية المختبرة (جدول 1)، حيث أنه عند تركيز 100% بلغ قطر منطقة التثبيط (13، 12 و 10 ملم) ضد *Klebsiella sp.*, *E. coli*, *Staph. aureus* على التوالي وعند التخفيف 50% بلغ قطر التثبيط (11 و 9 ملم) لكل من *Staph. aureus* و *Klebsiella sp.* بينما *E. coli* لم تظهر تأثير، في حين عند تخفيف 35 و 25% أعطى قطر تثبيط 10 ملم لبكتيريا *Staph. aureus* و 9 ملم *Klebsiella sp.* بينما لم تعطي تأثير لبكتيريا *E. coli*، حيث تقاربت النتائج مع ما أشار إليه [22] الذي بلغ قطر منطقة التثبيط لجسيمات الفضة النانوية ضد بكتيريا *E. coli* 8 ملم عند تخفيف 35% في حين لم يعطي تأثير عند تخفيف 25%.

جدول (1): تأثير جسيمات الفضة النانوية المنتجة بواسطة *A. niger* بتركيز مختلفة على البكتيريا المختبرة.

العزلات البكتيرية			تركيز الجسيمات النانوية المنتجة من % <i>A. niger</i>
<i>Klebsiella sp.</i>	<i>Staph. aureus</i>	<i>E. coli</i>	
10	13	12	100
9	11	-	50
9	10	-	35
-	10	-	25

كما أظهرت نتائج الدراسة أن جسيمات الفضة النانوية المنتجة بواسطة عزلتين من فطر *Cladosporium* لها تأثير فعال ضد بكتيريا *E. coli* تليها *Staph. aureus* بينما أقل تأثيراً على بكتيريا *Klebsiella sp.* بجميع التراكيز (جدول 2، 3).



جدول (2): تأثير جسيمات الفضة النانوية المنتجة بواسطة *C. cladosporioides* بتركيز مختلفة على البكتيريا المختبرة.

العزلات البكتيرية			تركيز الجسيمات النانوية المنتجة من % <i>C. cladosporioides</i>
<i>Klebsiella sp.</i>	<i>Staph. aureus</i>	<i>E. coli</i>	
10	11	14	100
10	10	11	50
8	10	11	35
-	9	10	25

جدول (3): تأثير جسيمات الفضة النانوية المنتجة بواسطة الفطر *C. peutiana* بتركيز مختلفة على البكتيريا المختبرة.

العزلات البكتيرية			تركيز الجسيمات النانوية المنتجة من % <i>C. peutiana</i>
<i>Klebsiella sp.</i>	<i>Staph. aureus</i>	<i>E. coli</i>	
10	12	14	100
8	11	12	50
8	10	10	35
-	10	9	25

كما تبين من النتائج أن جسيمات الفضة النانوية المنتجة بواسطة *P. chrysogenum* تأثير فعال ضد البكتيريا المختبرة بقطر تثبيط (10، 11، 12، ملم) اتجاه *Staph. aureus*، *E. coli* و *Klebsiella sp.* على التوالي عند تركيز 100% (جدول 4) حيث اتفقت النتائج مع ما توصل إليه [26].

جدول (4): تأثير جسيمات الفضة النانوية المنتجة بواسطة الفطر *P. chrysogenum* بتركيز مختلفة على البكتيريا المختبرة.

العزلات البكتيرية			تركيز الجسيمات النانوية المنتجة من % <i>P. chrysogenum</i>
<i>Klebsiella sp.</i>	<i>Staph. aureus</i>	<i>E. coli</i>	
10	12	11	100
9	12	10	50
8	12	11	35
8	11	8	25

وكذلك أظهرت جسيمات الفضة النانوية المنتجة بواسطة فطر *S. sclerotiorum* و *R. solani* تأثيرا فعال ضد البكتيريا المختبرة (جدول 5، 6).

جدول (5) : تأثير جسيمات الفضة النانوية المنتجة بواسطة الفطر *S. sclerotiorum* بتركيز مختلفة على البكتيريا المختبرة.

العزلات البكتيرية			تركيز الجسيمات النانوية المنتجة من % <i>S. sclerotiorum</i>
<i>Klebsiella sp.</i>	<i>Staph. aureus</i>	<i>E. coli</i>	
10	11	12	100
7	11	10	50
-	11	9	35
-	8	9	25

جدول (6): تأثير جسيمات الفضة النانوية المنتجة بواسطة الفطر *R. solani* بتركيز مختلفة على البكتيريا المختبرة.

العزلات البكتيرية			تركيز الجسيمات النانوية المنتجة من % <i>R. solani</i>
<i>Klebsiella sp.</i>	<i>Staph. aureus</i>	<i>E. coli</i>	
10	13	11	100
10	11	10	50
7	10	10	35
-	10	8	25



شكل (5): الفعالية التثبيطية لجسيمات الفضة النانوية المنتجة باستخدام *Cladosporium* ضد بكتيريا *Klebsiella sp.* (A)، و *Penicillium* ضد بكتيريا *E. coli* (B).

من المعروف منذ زمن طويل أن أيونات الفضة تعتبر مثبطات قوية وذات تأثير قاتل للبكتيريا على مدى واسع [28]، ويرجع هذا التأثير نظرا لصغر حجم الجسيمات النانوية ومساحتها السطحية الكبيرة حيث كلما صغر الحجم تجمعت بأعداد أكبر على سطح الخلايا وبالتالي موت الخلية [29]، أن الآلية التي يتم فيها تفاعل الجسيمات النانوية مع الخلايا البكتيرية هي أن الكائنات الدقيقة تحمل شحنات سالبة بينما الأكاسيد المعدنية النانوية تحمل الشحنة الموجبة مما يخلق تجاذب كهرومغناطيسي بين البكتيريا و سطح الدقائق وأن جسيمات الفضة النانوية تطلق الأيونات التي تتفاعل مع مجموعة الثايول (-SH) للبروتينات الناقلة للمواد الغذائية التي تبرز من غشاء الخلية ويخفض نفاذية الغشاء وبالتالي موت الخلية [30]، كما أوضح [31] أن المواد النانوية تحدث ثقب غير منتظمة في الغشاء الخارجي للخلية البكتيرية وتغير من نفاذيتها مما يؤدي إلى فقدان جزيئات مهمة من الخلية وبالنتيجة موتها، أيضا بين [32, 33] أن لجسيمات الفضة النانوية تأثير تثبيطي على البكتيريا من خلال تأثيرها على قواعد البيورين والبريميدين في جزيئة الحامض النووي مما يؤدي الى تكسرها.

الاستنتاجات Conclusions

نستنتج من هذه الدراسة أن الفطريات تعتبر مصدر مهم لإنتاج جسيمات الفضة النانوية التي تمتلك تأثير تثبيطي ضد الأنواع البكتيرية الممرضة المختبرة والتي يمكن استخدامها من الناحية الطبية لعلاج العديد من الأمراض وخصوصا مع ازدياد مقاومة البكتيريا للعديد من المضادات الحيوية المستخدمة.

المراجع References

- 1)Khan, A., Malik, N., Khan, M. & Hwan-Cho, M. (2017). Fungi-assisted silver nanoparticle synthesis and their applications. *Bioprocess and Biosystems Engineering*, 41, 1-20.
- 2)Khandel, P. & Shahi, S. (2018). Mycogenic nanoparticles and their bio-prospective application: current status and future challenges. *Journal of Nanostructure in Chemistry*, 8, 369-391.
- 3)Zhou, Y., Kong, Y., Kundu, S., Cirillo, J. & Liang, H. (2012). Antibacterial activities of gold and silver nanoparticles against *Escherichia coli* and *Bacillus Calmette-Guerin*. *Journal of Nanobiotechnology*, 10:19, 1-9.



- 4) Arvizo, R. (2012). Intrinsic therapeutic application of noble metal nanoparticles: past, present and future. *Chemical Society Reviews*, 41(7): 2942-2970.
- 5) Burdusel, A., Gherasim, O., Grumezescu, M., Mogoant, L., Fica, A. & Andronescu, E. (2018). Biomedical application of silver nanoparticles: an up-to date overview. *Nanomaterials (Basal)*, 8(9): 681.
- 6) Mishra, S. & Singh, B. (2015). Biosynthesized silver nanoparticles as nanoweapon against phytopathogens: exploring their scope and potential in agriculture. *Applied Microbiology Biotechnology*, 99(3): 1097-1107.
- 7) Kim, W., Jung H., Lamsal, K., Kim, S., Min, S. & Lee, S. (2012) Antifungal effects silver nanoparticles (AgNPs) against various plant pathogenic fungi. *Mycobiology*, 40(1): 53-58.
- 8) Chandrapal, P., Govindappa, M., Chandrasekar, N., Sarkar, S., Ooha, S. & Channabasava, R. (2016) Endophytic synthesis of silver chloride nanoparticles from *Penicillium* sp. of *Calophyllum apetalum*. *Vietnam Academy of Science and Technology*, 7(2): 1-6.
- 9) Durran, N., Marcato, D., Alves, L., Souza, I. & Esposito, E. (2005). Mechanistic aspects of biosynthesis of silver nanoparticles by several *Fusarium oxysporum* strains. *Journal of Nanobiotechnology*, 3(8): 1-7.
- 10) Durran, N., Marcato, D., Durran, M., Yadav, A., Gade, A. & Ria, M. (2011). Mechanistic aspects in biogenic synthesis of extracellular metal nanoparticles by peptides, bacteria, fungi and plants. *Applied Microbiology Biotechnology*, 90: 1609-1924.
- 11) Ahmad, A., Mukherjee, P., Senapati, S., Mandal, D., Khan, M., Kumar, R. & Sastry, M. (2003). Extracellular biosynthesis of silver nanoparticles using the fungus *Fusarium oxysporum*. *Colloids and Surfaces B: Biointerfaces*, 28(4): 313-318.
- 12) Verma, C., Kharwar, N. & Gange, C. (2010). Biosynthesis of antimicrobial silver nanoparticles by the endophytic fungus *Aspergillus clavatus*. *Nanomedicine*, 5(1): 33-40.
- 13) Vigneshwaran, N., Ashtaputre, M., Varadarajan, V., Nachane, P., Paralikar, M. & Balasubramanya, H. (2007). Biological synthesis of silver nanoparticles using the fungus *Aspergillus flavus*. *Materials Letters*, 61(6): 1413-1418.
- 14) Bhainsa, C. & D'Souza, F. (2006). Extracellular biosynthesis of silver nanoparticles using the fungus *Aspergillus fumigatus*. *Colloids and Surfaces B: Biointerfaces*, 47(2): 160-164.
- 15) Hemath-Naveen, S., Kumar, G., Karthik, L. & Bhaskara-Rao, V. (2010). Extracellular biosynthesis of silver nanoparticles using the filamentous fungus *Penicillium* sp. *Archives of Applied Science Research*, 2(6): 161-167.
- 16) Vahabi, K., Mansoori, A. & Karimi, S. (2011). Biosynthesis of silver nanoparticles by fungus *Trichoderma reesei* (a route for large-scale production of AgNPs). *Insciences Journal*, 1(1): 65-79.
- 17) Balaji, S., Basavaraja, S., Deshpande, R., Mahesh, B., Prabhakar, K. & Venkataraman, A. (2009). Extracellular biosynthesis of functionalized silver nanoparticles by strains of *Cladosporium cladosporioides* fungus. *Colloids and Surfaces B: Biointerfaces*, 68(1): 88-92.
- 18) Moubasher, N. (1993). Soil fungi in Qatar and other Arab countries. *Doha-Qatar*, 1-9.
- 19) Samson, A., Houbraken, J., Thrane, U., Frisvad, C. & Andersen, B. (2004). Food and Indoor fungi. 2nd edition. *Royal Netherlands academy of art and sciences*, 214-316.
- 20) Kidd, S., Halliday, C., Alexiou, H. & Ellis, D. (2016). Descriptions of medical fungi. 3rd edition, *Pfizer. Australia*, 1-278.
- 21) Pitt, I. & Hocking, D. (2008). Fungi and food spoilage. 3rd edition, *springer*, 1-519.
- 22) عبود، عبدالرازق حسين، بندر، ابراهيم خليل، زين العابدين سلمان صلاح (2017). تأثير دقائق الفضة النانوية المحضرة باستخدام *Aspergillus niger* في بعض البكتيريا المرضية. مجلة جامعة كركوك للدراسات العلمية، 12(1): 1-16.
- 23) Benson's microbiology applications: laboratory Manual in general. 9th edition, *New York*, 1-416.
- 24) Afshar, P. & Sedaghat, S. (2016). Bio-synthesis of Silver nanoparticles using water extracts of *Satureja hortensis* L and evaluation of the antibacterial properties. *Current Nanoscience*, 12(1): 90-93.

- 25)Alghuthaymi, A., Almoammar, H., Rai, M., Said-Galiy, E. & Abd- Elsalam, A. (2015). Myconanoparticles synthesis and their role in phytopathogens management. *Biotechnol, Biotechnological Equipment*, 29(2): 221-236.
- 26)Singh, D., Rathod, V., ; Ninganagouda, S., Hiremath, J., Singh, K. & Mathew, J. (2014). Optimization and Characterization of Silver Nanoparticle by Endophytic Fungi *Penicillium* sp. Isolated from *Curcuma longa* (Turmeric) and Application Studies against MDR *E. coli* and *S. aureus*. *Hindawi Publishing Corporation Bioinorganic Chemistry and Applications*, 1-8.
- 27) Nithya, R. & Ragunathan, R. (2014). In vitro synthesis, characterization and medical application of silver nanoparticles by using a low fungi. *OpenNano*, 21(6): 922-928
- 28)Soo-Hwan, K., Lee, S., Ryu, S., Choi, J. & Lee, S. (2011). Antibacterial activity of silver-nanoparticles against *Staphylococcus aureus* and *Escherichia coli*. *Korean Journal of Microbiology and Biotechnology*, 39(1): 77-85.
- 29)Sondi, L. & Salopek–Sondi, B. (2004). Silver Nanoparticles as Antimicrobial agent: a case on *E.coli* as a model for Gram-negative bacteria, *Journal of Colloid and Interface Science*, 275: 177-182.
- 30)Sharma, K., Yngard, A. & Lin, Y. (2009). Silver: Green Synthesis and their antimicrobial activities. *Advances in Colloid and interface Science*, 145: 83-96.
- 31)Amro, A., Kotra, P. Wadu-Mesthrige, K., Bulychev, A., Mobashery, S. & Liu, Y. (2000). High resolution atomic force microscopy studies of the *Escherichia coli* outer membrane: structural basis for permeability. *Langmuir*, 16(6):2789-2796.
- 32)Ghosh, S., Upadhay, A., Singh, A. & Kumar, A. (2010). Investigation of antimicrobial activity of silver nanoparticle loaded cotton fabrics, which may promote wound healing. *International Journal of Pharma and Bio Sciences*, 1(3):1-10.
- 33)Ranganath, E., Rathod, V. & Banu, A. (2012). Screening of *Lactobacillus* sp. for mediating the biosynthesis of silver nanoparticles from silver nitrate. *Journal of Pharmacy*, 2(2): 237-241.



The effect of silver nanoparticles produced by fungi against some pathogenic bacterial species

Mohamed A. Almiqasbi*, Suhila R. El-Said, Hanna O. Safar, Marwa E. Elwash, Najat H. Alatresh

Biology Department, Faculty of Sciences, Misurata University, Misurata, Libya

*m.almagasbi@sci.misuratau.edu.ly

Abstract: Many microorganisms have the ability to produce nanoparticles, which are known to have antibacterial activity against wide range of pathogenic bacteria. This study aimed to isolate fungi from the soil of the industrial zone of Qasr Ahmed in the city of Misurata to test their ability to produce nanoparticles and determine the inhibitory efficacy of these particles against Some bacterial species tested, 11 fungal species were obtained from soil samples using a series dilution method, the results showed the ability of 6 fungal species (*Cladosporium peutiana*, *Cladosporium cladosporioides*, *Penicillium chrysogenum*, *Aspergillus niger*, *Rhizoctonia solani*, *Sclerotinia Sclerotiorum*) to produce silver particles, it was detected by observing the color change of the fungal biomass filter to brown after adding 1mM silver nitrate, also by measuring the UV and visible absorption spectrum of the nanoparticle silver solution showing that it is located along a wavelength of 406 nm for *R. solani* and 432 for *A. niger*, which indicates the efficacy of fungi in production of these particles Inhibiting by using the agar-diffusion method, the solution of nanoparticles for all produced fungi species was inhibiting in the direction of all positive and negative tested bacteria of gram stain used in the study.

Keywords: Fungi, Nanoparticles, Inhibitory efficacy.